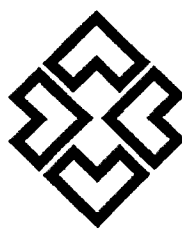


مکالمہ

۹۷ (۲۰)



پژوهشکده ساختمان و مسکن

پایان نامه کارشناسی ارشد
مهندسی عمران - مهندسی زلزله

عنوان

آنالیز استاتیکی غیرخطی مودال برای ساختمانهایی با شکستگی
در ارتفاع

استاد راهنمای

دکتر عبدالرضا سروقدمقدم

دانشجو

مجید پور عباسی

اسفندماه ۱۳۸۳

۹۷۳۵۱

بسمه تعالیٰ

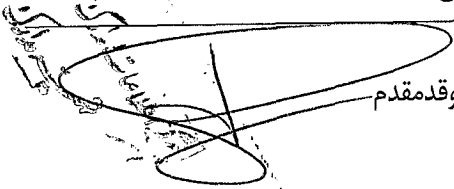
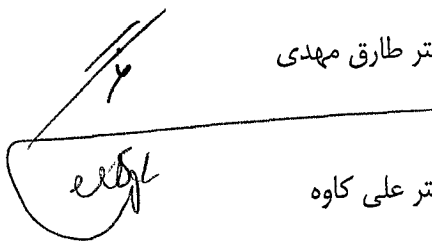
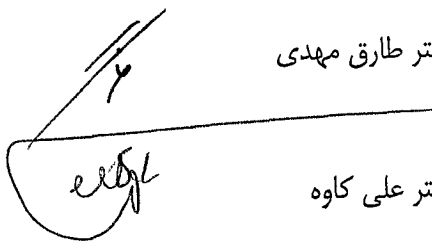


مرکز تحقیقات ساختمان و مسکن

پژوهشکده ساختمان و مسکن

تاییدیه هیات داوران

آقای مجید پورعباسی پایان نامه کارشناسی ارشد ع واحدی خود را با عنوان «آنالیز استاتیکی غیرخطی مودال برای ساختمانهای با شکستگی در ارتفاع» در تاریخ ۸۳/۱۲/۲۵ ارایه کردند. اعضای هیات داوران نسخه نهایی این پایان نامه را از نظر فرم و محتوی تایید و پذیرش آنرا برای تکمیل درجه کارشناسی ارشد رشته مهندسی عمران با گرایش مهندسی زلزله پیشنهاد می‌کنند.

اعضای هیأت داوران	نام و نام خانوادگی	امضا
۱- استاد راهنمای	آقای دکتر عبدالرضا سروقدمقدم	
۲- استاد مشاور	—	—
۳- استادان ممتحن (خارجی)	آقای دکتر سیدمهندی زهرا	
(داخلی)	آقای دکتر طارق مهدی	
۴- مدیر گروه (یا نماینده گروه تخصصی)	آقای دکتر علی کاوه	

۱۰/۱۲/۱۴۰۷

کلیه حقوق اعم از چاپ، تکثیر، نسخه‌برداری، ترجمه و
اقتباس برای پژوهشکده ساختمان و مسکن محفوظ است.

تقدیم

به آن دو که موفقیت خودم را در گرو محبتها بی انتهاشان کسب کردم.

تشکر و قدردانی

در پایان این رساله، لازم است که از تمام کسانی که مرا در این تحقیق یاری نمودند تشکر و قدردانی نمایم، خصوصاً از زحمات و راهنمایی‌های استاد ارجمند جناب آقای دکتر عبدالرضا سروقد مقدم کمال تشکر را دارم. همچنین از خانواده و خصوصاً مادر عزیزم که در طول دوران تحصیلی مشوق اصلی من بودند، قدردانی می‌گردد.

چکیده

روش تحلیل غیرخطی تاریخچه زمانی روشی مناسب جهت محاسبه نیازهای لرزه‌ای سازه‌ها می‌باشد، اما این روش بدليل صرف وقت زیاد، اغلب دارای کاربردهای عملی نمی‌باشد، بدین جهت معمولاً از روشهای تحلیل استاتیکی غیرخطی استفاده می‌شود. روش تحلیل استاتیکی غیرخطی رایج، جهت برآورد پاسخهای لرزه‌ای سازه‌ها، توزیع نیروی جانبی را متناسب با شکل مود اول سازه و یا متناسب با الگوی توزیع بارمثلي در نظر می‌گیرد که مقایسه جوابهای حاصله با تحلیل دینامیکی غیرخطی تاریخچه زمانی حاکی از اختلاف این دو تحلیل می‌باشد. بمنظور برطرف کردن این ضعف، روش تحلیل استاتیکی غیرخطی مodal پیشنهاد شده است. در این روش توزیع نیروی جانبی متناسب با شکل مودی سازه، به سازه اعمال می‌شود و پاسخهای لرزه‌ای سازه در آن مود تعیین می‌گردد و در نهایت پاسخ لرزه‌ای سازه بر اساس ترکیب پاسخهای لرزه‌ای در هر مود و بر اساس یکی از روشهای ترکیب مودی مثل SRSS تعیین می‌شود. در این رساله، این روش برای سازه‌های بتنی دوبعدی منظم و نامنظم (SETBACK) با سیستم قاب خمشی بکار گرفته شده و نتایج حاصل از آن با تحلیل غیرخطی تاریخچه زمانی در دو سطح زلزله $g = 0.35$ و $g = 0.70$ مقایسه شده‌اند. نتایج تحلیل استاتیکی غیرخطی مodal برای مدل‌های منظم و نامنظم در مقایسه با نتایج تحلیل غیرخطی تاریخچه زمانی در سطح زلزله $g = 0.35$ از دقت مناسبی برخوردار است، اما با افزایش یافتن سطح زلزله $g = 0.70$ از دقت این روش کاسته خواهد شد، بنابراین در این رساله پیشنهاد شده است که برای تعیین پاسخهای لرزه‌ای سازه‌ها در سطوح زلزله‌های بالا، الگوی بارگذاری جانبی بر اساس شکل مود پلاستیک به سازه‌ها اعمال گردد. این شکل مود، از تحلیل مodal سازه در پایان تغییرمکان هدف سازه بدست می‌آید، استفاده از این روش، باعث بهبود پاسخهای سازه، مخصوصاً در نقاط صدمه دیده سازه خواهد شد.

کلید واژه‌ها: تحلیل غیرخطی تاریخچه زمانی، تحلیل استاتیکی غیرخطی، ساختمانهای نامنظم (SETBACK)، شکل مود الاستیک و پلاستیک.

فهرست

صفحه

۱	فصل اول - کلیات
۲	۱-۱ - مقدمه
۳	۲-۱ - هدف
۵	فصل دوچه : مرواری بر انواع روش‌های تحلیل سازدها
۶	۱-۲ - معرفی
۷	۲-۲ - سیستم یک درجه آزاد
۸	۲-۲-۱ - رابطه نیرو - تغییر مکان در سیستمهای الاستیک
۸	۲-۲-۲ - رابطه نیرو - تغییر مکان در سیستمهای غیرالاستیک
۹	۲-۲-۳ - نیروهای میرایی
۱۰	۲-۲-۴ - معادله حرکت
۱۱	۲-۲-۵ - معادله حرکت : تحریک زلزله
۱۲	۳-۲ - سیستمهای چند درجه آزاد
۱۳	۳-۲-۱ - معادله حرکت سیستمهای چند درجه آزاد
۱۵	۳-۲-۲ - معادله حرکت : تحریک زلزله
۱۵	۴-۲ - روش‌های حل و تحلیل ساختمانهای چند طبقه الاستیک
۱۵	۴-۲-۱ - تحلیل خطی تاریخچه زمانی (RHA)
۲۰	۴-۲-۲ - روش تحلیل طیفی مودال (RSA)
۲۰	۴-۲-۳ - تحلیل بار جانبی فراینده مودال (MPA)
۲۱	۴-۲-۴ - روش تحلیل ساختمانهای چند طبقه غیرالاستیک
۲۱	۴-۲-۵ - تحلیل غیرخطی تاریخچه زمانی (NL-RHA)

۲۳ ۲-۵-۲ - تحلیل تاریخچه زمانی غیر پیوسته (UMRHA)
۲۹ ۲-۵-۳ - تحلیل بارفزاینده مودال (MPA)

فصل سوم : تاریخچه مطالعات انجام گرفته بر (۶۹) ساختمانهای SETBACK و (۶۹) ش

۳۱ تمثیل بارفزاینده مودال (MPA)
۳۲ ۱-۳ - معرفی
۳۲ ۲-۳ - مطالعات انجام گرفته در خصوص بررسی رفتار ساختمانهای دارای SETBACK
۳۲ ۲-۳ - تعریف
۳۳ Shahrooz and Moehle ۲-۲-۳ - تحقیقات
۴۳ Duan and Chandler ۳-۲-۳ - تحقیقات
۴۵ Moghadam and Tso ۴-۲-۳ - تحقیقات
۵۲ ۳-۳ - روش MPA جهت ارزیابی نیازهای لرزه ای ساختمانها
۵۲ ۱-۳-۳ - تعریف
۵۳ Chopra and Chintanapakdee ۲-۳-۳ - تحقیقات
۶۷ Chopra and Goel ۳-۳-۳ - تحقیقات

فصل چهارم : معرفی مدلها و آنالیزهای انجام گرفته

۷۵ ۱-۴ - معرفی
۷۶ ۲-۴ - مشخصات مدلها و رکوردهای انتخابی
۷۶ ۱-۲-۴ - مدل منظم
۷۹ ۲-۲-۴ - مدلها نامنظم (دارای پس رفتگی)
۸۲ ۳-۲-۴ - رکوردهای انتخابی
۸۴ ۳-۴ - تحلیل غیرخطی تاریخچه زمانی

۸۵ ۱-۳-۴- نتایج تحلیل غیرخطی تاریخچه زمانی
۹۰ ۴-۴- روش تحلیل MPA
۹۱ ۱-۴-۴- تعیین پریودها و شکل مودهای الاستیک
۹۲ ۲-۴-۴- تعیین منحنی ظرفیت سازه بر اساس توزیع نیروی S_n^*
۹۳ ۳-۴-۴- تبدیل منحنی‌های ظرفیت سازه به منحنی‌های دو خطی
 ۴-۴-۴- تبدیل منحنی‌های ظرفیت سازه به منحنی‌های دوخطی سیستم یک درجه آزاد
۹۴ $(F_{sn}/L_n - D_n)$
۹۷ ۵-۴-۴- حداقل تغییرمکان سیستم یک درجه آزاد غیرالاستیک
۹۹ ۶-۴-۴- تغییرمکان هدف مدل‌های انتخابی در هر مود
۱۰۰ ۷-۴-۴- نتایج تحلیل MPA
۱۱۲ ۸-۴-۴- پیشنهاد، جهت بالابردن دقت روش MPA
۱۲۰	فصل پنجم : نتایج و پیشنهادات
۱۲۱ ۱-۵- نتایج
۱۲۳ ۲-۵- پیشنهادات
۱۲۵	مراجع
۱۲۸ پیوست اول - جداول مربوط به سیستمهای یک درجه آزاد
۱۳۷ پیوست دوم - معرفی نرم‌افزار DRAIN-2DX

فهرست اشکال

صفحه

فصل دوچ

- ۵ شکل ۲-۱- سیستم یک درجه آزاد، (الف) نیروی موثر ($P(t)$ ، ب) حرکت پایه بعلت زلزله.....
- ۷ شکل ۲-۲- الف و ب) سیستم یک درجه آزاد تحت تاثیر نیروی جانبی، پ و ت) رابطه نیرو - تغییر مکان برای سیستمهای غیر الاستیک و الاستیک.....
- ۸ شکل ۲-۳- رابطه نیرو - تغییر مکان برای سازه غیر الاستیک.....
- ۹ شکل ۲-۴- الف) سیستم یک درجه آزاد، ب) دیاگرام آزاد نیروهای موثر ناشی از میرایی ، پ) رابطه بین نیرو و سرعت میراگر.....
- ۱۰ شکل ۲-۵- نیروهای موثر بر سیستم یک درجه آزاد، با در نظر گرفتن مولفه های ناشی از سختی و میرایی.....
- ۱۱ شکل ۲-۶- نیروهای موثر بر سیستم یک درجه آزاد، وقتی که سیستم تحت تاثیر حرکت زمین قرار می گیرد.....
- ۱۳ شکل ۲-۷- الف) قاب بر شی دو طبقه، ب) نیروهای مثمر در طبقات.....
- ۱۷ شکل ۲-۸- نیروهای جانبی موثر در مودهای اول، دوم و سوم یک سازه ۶ طبقه دلخواه.....
- ۱۹ شکل ۲-۹- ایده تحلیل خطی تاریخچه زمانی سیستم چند درجه آزاد.....
- ۲۶ شکل ۲-۱۰- مشخصات سیستم یک درجه آزاد غیر الاستیک در مود ۱۱ام.....
- ۲۸ شکل ۲-۱۱- (a) تغییر مکان بام ، (b) جایگایی نسبی بین طبقه ای یک قاب غیر الاستیک ۶ طبقه در مقابل نیروهای موثر در هر مود، در روش های NL-RHA, UMRHA

فصل سوچ

- ۳۱ شکل ۳-۱- شکل مدل آزمایش شده.....
- ۳۴ شکل ۳-۲- نمودارهای پاسخ سازه تحت رکوردهای السنترو و مکزیک به ترتیب با حداقل شتابهای
- ۳۵ ۰.346g و ۰.43g

شکل ۳-۳- تغییرات نیازهای شکل‌پذیری (خط چین و خط پر به ترتیب مربوط به قابهایی است که بر اساس تحلیل استاتیکی و طیفی طراحی شده‌اند) . (a) مدل‌های ۴C,3C,2C (b) ۵D,4D,5C	۳۷
شکل ۴-۳- شکل تغییرشکل یافته یک نوع ساختمان SETBACK	۳۸
شکل ۵- تغییرات نسبت جابجایی نسبی بین طبقه‌ای بر حسب α, β	۴۰
شکل ۶- شکل مود اول فرض شده برای ساختمانهای دارای پس‌رفتگی	۴۲
شکل ۷- تغییرات نیازهای شکل‌پذیری مدل‌هایی که بر اساس روش پیشنهادی تحلیل شده‌اند	۴۳
شکل ۸- (a) نمای مدل ساختمان دارای پس‌رفتگی (b) پلان ساختمان	۴۴
شکل ۹- پلان ساختمان تحت بررسی	۴۶
شکل ۱۰- ساختمان نامنظم دارای پس‌رفتگی	۴۶
شکل ۱۱- طیف پاسخ رکوردهای مصنوعی ۱۰ گانه	۴۷
شکل ۱۲- میانگین حداکثر جابجایی (m) روش‌های دینامیکی غیرخطی و تحلیل بارافزون بر اساس توزیع بار مثلثی	۴۸
شکل ۱۳- میانگین حداکثر جابجایی نسبی میان طبقه‌ای در روش‌های تحلیل دینامیکی غیرخطی و تحلیل بارافزون بر اساس الگوی توزیع بار مثلثی	۴۹
شکل ۱۴- مقایسه توزیع بار حاصل از تحلیل طیف پاسخ با توزیع بار مثلثی نیروها	۵۰
شکل ۱۵- میانگین حداکثر جابجایی نسبی میان طبقه‌ای	۵۱
شکل ۱۶- قابهای تک دهانه ۳، ۶، ۹، ۱۵، و ۱۸ طبقه	۵۴
شکل ۱۷- مقایسه حداکثر جابجایی نسبی میان طبقه‌ای در قابهای ۳، ۶، و ۹ طبقه ($T_1 = T_{11}$) با ضرایب شکل پذیری ۲، ۴، $6 = \mu$ در تحلیلهای MPA و غیرخطی تاریخچه زمانی . نتایج مربوط به تحلیلهای الاستیک نیز داده شده است	۵۶
شکل ۱۸- مقایسه حداکثر جابجایی نسبی میان طبقه‌ای در قابهای ۱۲، ۱۵، و ۱۸ طبقه ($T_1 = T_{11}$) با ضرایب شکل پذیری ۲، ۴، $6 = \mu$ در تحلیلهای MPA و غیرخطی تاریخچه زمانی . نتایج مربوط به تحلیلهای الاستیک نیز داده شده است	۵۷

- شکل ۱۹-۳ - میانگین جابجایی نسبی طبقات (Δ_{MPA}^*) برای قابهای ۳، ۶، ۹، ۱۲، ۱۵ و ۱۸ طبقه با (T_1)
 $= \mu$ طراحی شده‌اند. نتایج Δ_{RSA}^* برای قابهایی
 T_u (=) که براساس ضرایب شکل پذیری ۱، ۲، ۴، ۱/۵، ۱/۵، ۲، ۴، ۶ = μ طراحی شده‌اند. نتایج Δ_{RSA}^* برای قابهایی
 T_1 ۶۰
که بصورت الاستیک رفتار می‌کنند، نیز ارائه شده است.....
شکل ۲۰-۳ - میانگین جابجایی نسبی طبقات (Δ_{MPA}^*) برای قابهای ۳، ۶، ۹، ۱۲، ۱۵ و ۱۸ طبقه با (T_1)
 $= \mu$ طراحی شده‌اند. نتایج Δ_{RSA}^* برای قابهایی
 T_L (=) که براساس ضرایب شکل پذیری ۱، ۲، ۴، ۱/۵، ۱/۵، ۲، ۴، ۶ = μ طراحی شده‌اند. نتایج Δ_{RSA}^* برای قابهایی
 T_1 ۶۱
که بصورت الاستیک رفتار می‌کنند، نیز ارائه شده است.....
شکل ۲۱-۳ - میانگین حداکثر جابجایی نسبی میان طبقه‌ای قابهای نامنظم از نظر سختی ، مقاومت و
ترکیب سختی و مقاومت (حالات ۱ تا ۴) با ضریب اصلاح ۲، در مقایسه با تحلیل غیرخطی تاریخچه زمانی.. ۶۳
شکل ۲۲-۳ - میانگین حداکثر جابجایی نسبی میان طبقه‌ای قابهای نامنظم از نظر سختی ، مقاومت و
ترکیب سختی و مقاومت (حالات ۵ تا ۸) با ضریب اصلاح ۲، در مقایسه با تحلیل غیرخطی تاریخچه زمانی.. ۶۴
شکل ۲۳-۳ - جابجایی نسبی میان طبقه‌ای میانگین Δ_{MPA}^* برای قابهای منظم و نامنظم با ضریب اصلاح ۲ ۶۶
شکل ۲۴-۳ - مدل‌های سه بعدی درنظر گرفته شده..... ۶۷
شکل ۲۵-۳ - پلان ساختمانهای چند طبقه نامتقارن..... ۶۸
شکل ۲۶-۳ - تغییرمکانها و جابجایی‌های نسبی میان طبقه‌ای روشهای MPA و تحلیل غیرخطی تاریخچه
زمانی (a) ساختمان منظم (b) ساختمان منظم (c) ساختمان نامنظم (d) ساختمان نامنظم..... ۶۹
شکل ۲۷-۳ - پریودها و مودهای طبیعی ساختمانهای نامنظم (a) u1 (b) u2 (c) u3 (d) u4 ۷۱

شکل ۳-۲۸- مقایسه تقریبی جابجایی بام قاب سمت راستی سیستم نامنظم ۱۲ که با استفاده از تحلیل

غیرخطی تاریخچه زمانی و تحلیل غیرخطی تاریخچه زمانی غیرپیوسته (UMRHA) برای چهار مود اول

۷۲ بدست آمده است

شکل ۳-۲۹- مقایسه جابجایی و جابجایی نسبی میان طبقه‌ای قاب سمت راست مدل نامنظم ۱۲ در روش

۷۳ MPA (بر اساس قانون ترکیب مودی ABSSUM و CQC) با روش تحلیل غیرخطی تاریخچه زمانی

۷۴ فصل چهارم

شکل ۴-۱- انواع مدل‌های نامنظم انتخاب شده

شکل ۴-۲- تاریخچه و تغییرات شتاب در رکوردهای انتخابی

شکل ۴-۳- سطح تسلیم معرفی شده برای ستونها

شکل ۴-۴- سطح تسلیم معرفی شده برای تیرها

شکل ۴-۵- مقایسه نسبت میانگین حداکثر جابجایی نسبی میان طبقه‌ای مدل‌های تحت بررسی در تحلیل غیرخطی تاریخچه زمانی ۰.۳۵g

شکل ۴-۶- مقایسه نسبت میانگین حداکثر جابجایی نسبی میان طبقه‌ای مدل‌های تحت بررسی در تحلیل

غیرخطی تاریخچه زمانی ۰.۷۵g

شکل ۴-۷- اشکال مودی مودهای اول ، دوم و سوم مدل S10B6

شکل ۴-۸- منحنی‌های ظرفیت مدل S10B6 در سه مود اول (منحنی خط چین ، منحنی دو خطی شده

۹۳ می باشد)

شکل ۴-۹- تاریخچه تغییر مکان سیستم یک درجه آزاد غیر الاستیک مدل S10B6 در مود اول بر اساس

۹۸ ۰.۳۵g مقیاس شده اند ۷ رکورد انتخابی که به

شکل ۱۰-۴ الف و ب) حداکثر جابجایی نسبی میان طبقه‌ای مدل S10B6 در روش MPA و روش تحلیل

غیرخطی تاریخچه زمانی (0.70g,0.35g) ج و د) مقایسه خطای MPA نسبت به تحلیل غیرخطی (

۱۰۳ (0.70g,0.35g)

شکل ۱۱-۴ مقایسه حداکثر جابجایی نسبی میان طبقه‌ای مدل‌های تحت بررسی در روش MPA با روش

۱۰۷ (0.35g)

شکل ۱۲-۴ مقایسه خطای جابجایی نسبی میان طبقه‌ای مدل‌های نامنظم تحت بررسی در روش MPA با

۱۰۸ (0.35g)

شکل ۱۳-۴ مقایسه حداکثر جابجایی نسبی میان طبقه‌ای مدل‌های تحت بررسی در روش MPA با روش

۱۱۰ (0.70g)

شکل ۱۴-۴ مقایسه خطای جابجایی نسبی میان طبقه‌ای مدل‌های نامنظم تحت بررسی در روش MPA با

۱۱۱ (0.70g)

شکل ۱۵-۴ مقایسه حداکثر جابجایی نسبی میان طبقه‌ای مدل‌های انتخابی در روش MPA تحت الگوی

۱۱۷ (0.70g)

شکل ۱۶-۴ - نحوه تمرکز رفتار غیرخطی در المانهای مدل S10B6V4H67 در پایان تغییرمکانهای هدف

۱۱۸ متناظر با شکل مودهای اول، دوم و سوم.

۱۳۲ پیوست دو

شکل پ-۱-۳-۲-۱- سطح اندرکنش تسلیم در تیرها

۱۳۶ شکل پ-۲-۳-۲- سطح اندرکنش تسلیم در ستونهای فولادی

۱۳۶ شکل پ-۲-۳-۳- سطح اندرکنش تسلیم در ستونهای بتونی

۱۳۷ شکل پ-۲-۴-۳-۲- انواع رفتارهای المان فنر در برنامه DRAIN-2DX

۷۴	فصل چهارم
۷۸	جدول ۱-۴- مقادیر نیروی برش پایه در مدل‌های منظم و نامنظم بر اساس استاندارد ۲۸۰۰
۸۱	جدول ۲-۴- ابعاد ستونها در کلیه مدل‌های طراحی شده بر اساس آیین‌نامه ACI (کلیه ابعاد به سانتی‌متر است)
۸۱	جدول ۳-۴- ابعاد تیرها در کلیه مدل‌های طراحی شده بر اساس آیین‌نامه ACI (کلیه ابعاد به سانتی‌متر است)
۸۲	جدول ۴-۴- مشخصات مولفه‌های افقی رکوردهای انتخابی
۸۶	جدول ۴-۵- میانگین حداکثر جابجایی نسبی میان طبقه‌ای مدل S10B6 برای رکوردهای ۷ گانه در تحلیل غیرخطی تاریخچه زمانی (0.35g)
۸۶	جدول ۴-۶- میانگین حداکثر جابجایی نسبی میان طبقه‌ای مدل S10B6 برای رکوردهای ۷ گانه در تحلیل غیرخطی تاریخچه زمانی (0.70g)
۹۷	جدول ۴-۷- مشخصات سیستم یک‌درجه آزاد غیرالاستیک مدل S10B6 در مودهای اول، دوم و سوم
۹۹	جدول ۴-۸- حداکثر تغییر مکان سیستم یک‌درجه آزاد غیرالاستیک مدل S10B6 در مودهای اول، دوم و سوم در تحلیل غیرخطی تاریخچه زمانی
۱۰۰	جدول ۴-۹- تغییرمکانهای هدف مدل S10B6 در مودهای اول، دوم و سوم
۱۰۱	جدول ۴-۱۰- حداکثر جابجایی نسبی میان طبقه‌ای (%) در مودهای اول، دوم و سوم مدل S10B6 در تحلیل MPA و تحلیل غیرخطی تاریخچه زمانی (0.35g)
۱۰۲	جدول ۴-۱۱- حداکثر جابجایی نسبی میان طبقه‌ای (%) در مودهای اول، دوم و سوم مدل S10B6 در تحلیل MPA و تحلیل غیرخطی تاریخچه زمانی (0.70g)
۱۰۵	جدول ۴-۱۲- جرم‌های موثر و مقادیر پریودهای متناظر با هر مدل در سه مود اول، دوم و سوم

۱۱۴	جدول ۱۳-۴- مشخصات سیستم یک درجه آزاد غیرالاستیک مدل S10B6 در مودهای پلاستیک.....
۱۱۵	جدول ۱۴-۴- حداکثر تغییرمکان سیستم یک درجه آزاد غیرالاستیک مدل S10B6 در مودهای اول، دوم و سوم پلاستیک.....
۱۱۶	

۱۲۳	پیوست اول
۱۲۴	جدول پ-۱-۱- مشخصات سیستم یک درجه آزاد غیرالاستیک مدل S10B6V2H33 در سه مود اول.....
۱۲۴	جدول پ-۱-۲- مشخصات سیستم یک درجه آزاد غیرالاستیک مدل S10B6V4H33 در سه مود اول.....
۱۲۵	جدول پ-۱-۳- مشخصات سیستم یک درجه آزاد غیرالاستیک مدل S10B6V6H33 در سه مود اول.....
۱۲۵	جدول پ-۱-۴- مشخصات سیستم یک درجه آزاد غیرالاستیک مدل S10B6V8H33 در سه مود اول.....
۱۲۶	جدول پ-۱-۵- مشخصات سیستم یک درجه آزاد غیرالاستیک مدل S10B6V2H67 در سه مود اول.....
۱۲۶	جدول پ-۱-۶- مشخصات سیستم یک درجه آزاد غیرالاستیک مدل S10B6V4H67 در سه مود اول.....
۱۲۷	جدول پ-۱-۷- مشخصات سیستم یک درجه آزاد غیرالاستیک مدل S10B6V6H67 در سه مود اول.....
۱۲۷	جدول پ-۱-۸- مشخصات سیستم یک درجه آزاد غیرالاستیک مدل S10B6V8H67 در سه مود اول.....
۱۲۸	جدول پ-۱-۹- حداکثر تغییرمکان سیستم یک درجه آزاد مدل S10B6V2H33 در سه مود اول.....
۱۲۸	جدول پ-۱-۱۰- حداکثر تغییرمکان سیستم یک درجه آزاد مدل S10B6V4H33 در سه مود اول.....
۱۲۹	جدول پ-۱-۱۱-۱- حداکثر تغییرمکان سیستم یک درجه آزاد مدل S10B6V6H33 در سه مود اول.....
۱۲۹	جدول پ-۱-۱۲-۱- حداکثر تغییرمکان سیستم یک درجه آزاد مدل S10B6V8H33 در سه مود اول.....
۱۳۰	جدول پ-۱-۱۳-۱- حداکثر تغییرمکان سیستم یک درجه آزاد مدل S10B6V2H67 در سه مود اول.....
۱۳۰	جدول پ-۱-۱۴-۱- حداکثر تغییرمکان سیستم یک درجه آزاد مدل S10B6V4H67 در سه مود اول.....
۱۳۱	جدول پ-۱-۱۵-۱- حداکثر تغییرمکان سیستم یک درجه آزاد مدل S10B6V6H67 در سه مود اول.....

جدول پ-۱۶- حداکثر تغییر مکان سیستم یک درجه آزاد مدل S10B6V8H67 در سه مود اول.....

۱۳۷**پیوست ۵۹**

جدول پ-۱-۲- مقایسه پریود سه مود اول مدل های انتخابی در نرم افزارهای DRAIN-2DX و

۱۴۴ SAP2000

فصل اول

كليات

یکی از مناسب‌ترین روش‌ها جهت ارزیابی نیازهای لرزه‌ای ساختمانها، تحلیل غیرخطی تاریخچه زمانی می‌باشد. اما این روش به دلیل صرف وقت زیاد معمولاً در کاربردهای معمول مهندسی استفاده نمی‌شود. اخیراً جهت تخمین نیازهای لرزه‌ای ساختمانها، روش تحلیل استاتیکی غیرخطی پیشنهاد شده است. در این روش سازه تحت تأثیر الگوی بار جانبی مناسبی قرار می‌گیرد تا اینکه تغییرمکان یک نقطه مشخص از سازه (معمولًاً تغییرمکان یک نقطه از بام ساختمان) به مقدار معینی (تغییرمکان هدف) برسد. بنابراین در این تحلیل تعیین صحیح دو پارامتر از اهمیت ویژه‌ای برخوردار است، ۱- الگوی بارگذاری جانبی مناسب، ۲- تغییرمکان هدف سازه.

روش تحلیل استاتیکی غیرخطی رایج، معمولاً جهت برآورده نیازهای لرزه‌ای ساختمانها، شکل بارگذاری جانبی را متناسب با شکل مود اول سازه تحت بررسی درنظر می‌گیرد. تحقیقات انجام گرفته در [۴-۱] بیانگر این موضوع می‌باشد که درنظر گرفتن پاسخهای ناشی از مود اول به تنها یک جهت ارزیابی نیازهای لرزه‌ای سازه‌ها کافی نمی‌باشد و نتایج این تحلیل با نتایج تحلیل غیرخطی تاریخچه زمانی انطباق کامل ندارد، این عدم انطباق هر آنقدر که ساختمان بلندمرتبه و یا نامنظم‌تر باشد، بیشتر نمایان خواهد شد. به همین منظور، در جهت رفع این نقیصه محققین زیادی سعی کردند که به طریقی نتایج تحلیل استاتیکی غیرخطی را به نتایج تحلیل غیرخطی تاریخچه زمانی نزدیک سازند [۱-۳]. روشی که توسط این محققین پیشنهاد شده است، روش تحلیل استاتیکی غیرخطی مodal می‌باشد [۱-۳]. در این روش الگوی بارگذاری جانبی براساس شکل مودی تا رسیدن تغییرمکان یک نقطه مشخص از ساختمان به مقدار معینی ادامه می‌یابد و در نهایت پاسخهای حاصل از هر شکل مود بارگذاری براساس قوانین ترکیب مود، باهم ترکیب می‌شوند.